### カメラの相互投影による trifocal tensor の 計算と形状復元の安定化

#### 杉村健之 体藤 淳 村

複数のカメラ間の位置や姿勢の情報はカメラ画像をもとに対象物の形状を復元したり,復元結果を任意視点に再投影して複合現実映像を作成したりするうえで非常に重要である.カメラが3台存在する場合にはこれらのカメラ間の位置や姿勢の情報は一般に trifocal tensor によって表すことができる.したがって,trifocal tensor の計算は,複数の画像を用いる様々なアプリケーションにおいて非常に重要である.しかし,一般に画像から trifocal tensor を安定に計算することは難しいことが知られている.そこで本研究では,お互いのカメラを相互に投影し合うことにより trifocal tensor を安定に計算する方法を提案する.特に,1つのカメラが他の2つのカメラに投影されている場合は5点から,また,2つのカメラがそれぞれ他の2つのカメラに投影されている場合は4点から,そして,すべてのカメラが相互に投影されている場合は2点の対応点から線形に trifocal tensor を求めることができることを示す.また提案法を用いることにより,対象物の形状復元が格段に安定化することを示す.

# Robust Computation of Trifocal Tensor from Mutual Projection of Cameras

TAKESHI SUGIMURA<sup>†</sup> and JUN SATO<sup>†</sup>

The computation of trifocal tensor is very important for computing camera motions and reconstructing the shape of objects. However computation of trifocal tensor is very sensitive to image noise. Thus, in this paper, we propose a robust method for computing trifocal tensor by projecting three cameras each other. Especially, we show that if a single camera is projected to the other two cameras, trifocal tensor can be computed from five image points, if two cameras are projected to the other, it can be computed from four image points, and if all cameras are projected to each other, it can be computed from just two image points linearly and reliably. We also show that by using the proposed method, we can reconstruct object shapes accurately.

#### 1. はじめに

近年,コンピュータビジョンにおいて,複数視点の画像から 3 次元形状の復元を行う研究や $^{1)}$ ,指定した目的地点へ移動ロボットを誘導させる視覚誘導 $^{2)}$ の研究がさかんに行われている.さらには,未校正のカメラから得られる情報に関する研究が進み $^{3),4)}$ ,過去に撮られた複数の画像から建造物などの 3 次元形状を復元し,仮想空間や現実空間に融合する複合現実感の研究が進展している $^{5),6)}$ .

以上のように複数の画像を用いて 3 次元形状の復元や再投影を行うためには,それぞれの画像を撮影したカメラがどの位置に,どのような姿勢で存在す

るかというカメラ運動の情報を取得することが必要不可欠である.このような複数のカメラ間の相対的な位置や姿勢などの情報はエピポーラ幾何によって表される.エピポーラ幾何は2枚の画像間では7自由度のfundamental行列,3枚の画像間では18自由度のtrifocal tensor,4枚の画像間では29自由度のquadrifocal tensorで記述され,画像を2枚から4枚まで増やすことによりカメラ画像間においてより多くの拘束条件が得られることが知られている7).

これまでに fundamental 行列や trifocal tensor は 画像上の複数の投影点から線形解法により求める方法 が提案されている<sup>4),8)</sup>.しかし,このような計算法は 画像ノイズに大きく影響を受けることが知られており, 安定に計算することは非常に難しい.著者らは,2つのカメラを相互に投影し合うことにより,それらのカメラの投影像として画像中から直接エピポールの情報

を取得し、fundamental 行列をより安定に計算する方法を提案した<sup>9)</sup> . 本稿はこれを 3 つのカメラ間のエピポーラ幾何に拡張し、3 つのカメラを相互に投影し合うことで trifocal tensor を線形計算で安定に求める手法を提案する . 一般に trifocal tensor を線形に計算するには、対象物上の最低 7 点の対応点が必要であることが知られている.これに対し、本稿では、1 つのカメラが他の 2 つのカメラに投影されている場合は 5 点から、2 つのカメラがそれぞれ他の 2 つのカメラに投影されている場合は 4 点から、また、すべてのカメラが相互に投影されている場合には対象物上の 2 点の対応点から線形にかつ従来法より格段に安定に trifocal tensor を求めることができることを示す.さらに提案法を射影復元に応用することにより復元の安定性も格段に向上することを示す.

#### 2. エピポーラ幾何

よく知られているように,複数のカメラの相対的な位置や姿勢などの情報はエピポーラ幾何によって記述できる.図 1 に示すように 3 つのカメラが存在する場合,視点  $C_i(i=1,2,3)$  のカメラはエピポール  $\mathbf{e}_{ij}$  としてそれぞれ相互に投影される.また,空間中の点  $\mathbf{X}$  がそれぞれのカメラに投影されている場合,その投影像を, $\widetilde{\mathbf{m}}_1=\begin{bmatrix}u_1&v_1&w_1\end{bmatrix}^\top,\widetilde{\mathbf{m}}_2=\begin{bmatrix}u_2&v_2&w_2\end{bmatrix}^\top,\widetilde{\mathbf{m}}_3=\begin{bmatrix}u_3&v_3&w_3\end{bmatrix}^\top$ ,各カメラ行列を  $\mathbf{P}_1$ , $\mathbf{P}_2$ , $\mathbf{P}_3$  で表すと,次の方程式が成り立つ.

$$s_{1}\widetilde{\mathbf{m}}_{1} = \mathbf{P}_{1}\widetilde{\mathbf{X}}$$

$$s_{2}\widetilde{\mathbf{m}}_{2} = \mathbf{P}_{2}\widetilde{\mathbf{X}}$$

$$s_{3}\widetilde{\mathbf{m}}_{3} = \mathbf{P}_{3}\widetilde{\mathbf{X}}$$
(1)

ここで  $,s_1$   $,s_2$   $,s_3$  は 0 以外の実数である.このとき , 投影像  $\mathbf{m}_1$   $,\mathbf{m}_2$   $,\mathbf{m}_3$  間には次式で示す拘束式が成り立つ.

$$[\widetilde{\mathbf{m}}_2]_{\times}\mathbf{G}(\widetilde{\mathbf{m}}_1)[\widetilde{\mathbf{m}}_3]_{\times}=\mathbf{0}_3$$
 (2) ここで, $\mathbf{0}_3$  は  $0$  を要素とする  $3\times 3$  の行列を表し,また, $\mathbf{G}(\widetilde{\mathbf{m}}_1)$  は,次式で表されるような  $3\times 3$  の行列である.

$$\mathbf{G}(\widetilde{\mathbf{m}}_1) = u_1 \mathbf{T}_1 + v_1 \mathbf{T}_2 + w_1 \mathbf{T}_3 \tag{3}$$

 ${f T}_1$  ,  ${f T}_2$  ,  ${f T}_3$  はそれぞれ 3 imes3 の行列であり , これら  ${f T}_1$  ,  ${f T}_2$  ,  ${f T}_3$  からなる [  ${f T}_1$   ${f T}_2$   ${f T}_3$  ] が trifocal tensor である .

trifocal tensor は全部で 18 自由度を持つが , その内訳は , 2 自由度の 6 つのエピポールと , 3 自由度の 2 つエピポーラ・ホモグラフィーである . エピポール

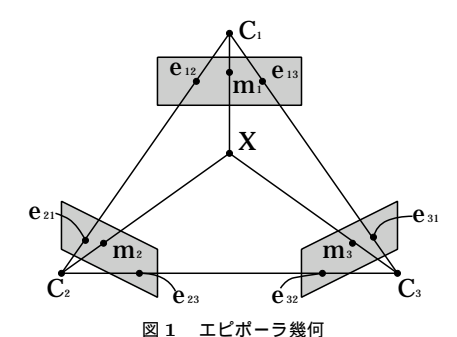


Fig. 1 Epipolar geometry.

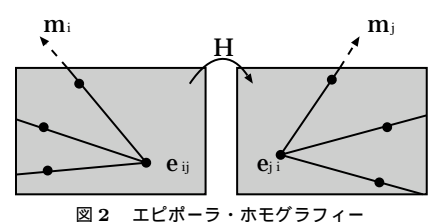


Fig. 2 Epipolar homography.

 $\widetilde{\mathbf{e}}_{ij}$  はカメラの並進運動を表し,エピポーラ・ホモグラフィーは図 2 に示すように,ある画像中のエピポーラ線を他の画像中のエピポーラ線に変換する 3 自由度の1 次元射影変換であり,カメラの回転運動に対応する.各カメラ間の 3 つのエピポーラ・ホモグラフィーのうち独立なものは 2 つのみであるため,trifocal tensorに含まれるエピポーラ・ホモグラフィー全体の自由度は 6 となる.

 $\mathbf{G}(\widetilde{\mathbf{m}}_1)$  の i 行 j 列の要素を  $g_{ij}$  で表し , 式 (2) を展開すると次のような 4 つの独立な拘束式が得られる .

$$-w_2w_3g_{22} + w_2v_3g_{23} + v_2w_3g_{32} - v_2v_3g_{33} = 0$$

$$w_2w_3g_{21} - w_2u_3g_{23} - v_2w_3g_{31} + v_2u_3g_{33} = 0$$

$$w_2w_3g_{12} - w_2v_3g_{13} - u_2w_3g_{32} + u_2v_3g_{33} = 0$$

$$-w_2w_3g_{11} + w_2u_3g_{13} + u_2w_3g_{31} - u_2u_3g_{33} = 0$$

trifocal tensor は未知数が 27 であり,また定数倍の不定性があるので 26 個の拘束式があれば線形に求めることができる.また,1 組の対応点からは 4 つの拘束式が得られるから,7 組の対応点があれば,合計  $7\times 4=28$  個の拘束式が得られ,線形に trifocal tensor を求めることができる $^{7}$ ). しかし,このような求め方は非常にノイズに弱いことが知られている.

### カメラの相互投影による trifocal tensor の計算

そこで,本稿ではカメラがお互いに投影し合っている場合に,これらの投影像をエピポールとして直接求

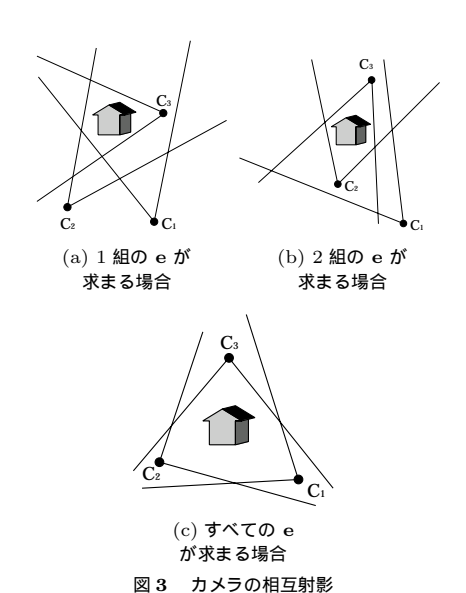


Fig. 3 Mutual projection of cameras.

めることにより、trifocal tensor を安定に計算する手法を提案する .3 つのカメラが存在する場合には、図 3 に示すようにこれらのうちの 1 つが他の 2 つのカメラ に投影されている場合や、2 つのカメラがそれぞれ他の 2 つに投影されている場合や、3 つのカメラがお互いに投影し合っている場合などがある.

1つのカメラが他の2つのカメラに投影されている場合,2自由度のエピポールが画像中から直接2つ求めることができるので,trifocal tensorの残りの14自由度を画像中の対応点から決定すればよい.また,2つのカメラがそれぞれ他の2つのカメラに投影されている場合は2組(4つ)のエピポールが画像中から直接求まるので,残りの10自由度を画像中の対応点から求めればよい.そして,すべてのカメラが相互に投影されている場合は3組(6つ)のエピポールが画像中から直接求まるので,残りの6自由度を画像中の対応点から求めればよいことが分かる.以下では,これらの方法について詳しく述べる.

#### 3.1 1つのカメラが投影されている場合

まず図 3 (a) のように視点  $C_3$  にあるカメラが視点  $C_1$  ,  $C_2$  にあるカメラに投影されている場合を考える . 視点  $C_3$  に対する  $C_1$  上のエピポール  $e_{13}$  とは , 視点  $C_3$  におけるどのような点  $m_3$  に対しても式 (2) が成り立つような  $m_1$  を表す . 同様に , 視点  $C_3$  に対する  $C_2$  上のエピポール  $e_{23}$  はどのような  $m_3$  においても式 (2) が成り立つような  $m_2$  を表す . したがっ

て, どのような m3 においても, 式(2) が成り立つこ

とから ,  $\mathbf{e}_{13}$  ,  $\mathbf{e}_{23}$  に関して次の方程式が成り立つこ

とが分かる.

$$[\widetilde{\mathbf{e}}_{23}]_{\times}\mathbf{G}(\widetilde{\mathbf{e}}_{13}) = \mathbf{0}_3 \tag{4}$$

この式を展開すると trifocal tensor に関する 6 つの 独立な拘束式を得ることができる.

また,1 組の対応点  $\mathbf{m}_1$ , $\mathbf{m}_2$ , $\mathbf{m}_3$  には式 (2) が成り立つため,5 組の対応点が存在すれば trifocal tensor に関する 20 個の拘束式を得ることができる.したがって,5 組の対応点と 1 組のエピポールから式 (2),(4) より合計 26 個の拘束式が得られるので,これらの式を解くことにより,trifocal tensor を線形に計算することができる.

以上より,ある1つのカメラが他の2つのカメラに投 影されている場合は5組の対応点から trifocal tensor を線形に決定することが可能であることが分かる.

#### 3.2 2つのカメラが相互投影されている場合

次に,図 3 (b) に示すように,さらに視点  $C_2$  が視点  $C_1$  と  $C_3$  に投影されている場合を考える.この場合はさらに,エピポール  $e_{12}$  ,  $e_{32}$  を画像中から直接求めることが可能となる.

したがって,まず先と同様に,エピポール  $e_{13}$ ,  $e_{23}$ から式 (4) より trifocal tensor に関する 6 つの独立な 拘束式が得られる.

また,先と同様に,エピポール  $\mathbf{e}_{12}$ , $\mathbf{e}_{32}$  とは  $\mathbf{m}_2$  がどんな点であっても式 (2) が成り立つような  $\mathbf{m}_1$ , $\mathbf{m}_3$  を表す.したがって,式 (2) と  $\mathbf{e}_{12}$ , $\mathbf{e}_{32}$  より次式が成り立つことが分かる.

$$\mathbf{G}(\widetilde{\mathbf{e}}_{12})[\widetilde{\mathbf{e}}_{32}]_{\times} = \mathbf{0}_{3} \tag{5}$$

この式を展開すると trifocal tensor に関する 6 つの拘束式が新たに得られる.したがって,エピポール  $\mathbf{e}_{13}$ ,  $\mathbf{e}_{23}$ ,  $\mathbf{e}_{12}$ ,  $\mathbf{e}_{32}$  が画像から得ることができれば,式 (4), (5) からそれぞれ 6 個の拘束が得られる.また,4 組の対応点が存在すれば式 (2) により 16 個の拘束が得られるため,合計 28 個の trifocal tensor に関する拘束式を得ることができ,これらの式を解くことにより, trifocal tensor を線形に計算することができる

以上より、2つのカメラがそれぞれ他の2つのカメラに投影されている場合は4組の対応点から trifocal tensor を線形に決定することが可能であることが分かる。

#### 3.3 3つのカメラが相互投影されている場合

次に , 図 3(c) のように , さらに視点  $C_1$  も他の 2 つのカメラに投影されて , すべてのエピポールが求まっている場合を考える . この場合はさらにエピポール  $e_{21}$  ,  $e_{31}$  を画像から直接求めることが可能となる .

まず , 先と同様に  $\mathbf{e}_{13}$  ,  $\mathbf{e}_{23}$  ,  $\mathbf{e}_{12}$  ,  $\mathbf{e}_{32}$  と式 (4) , (5)

#### 表1 従来法と提案法の比較

 $\begin{tabular}{ll} Table 1 & Comparison of existing methods and proposed \\ methods. \end{tabular}$ 

画像中の	求める	必要な	線形計算に
エピポール	自由度	拘束式	必要な対応点
0	18	26	7
1	14	20	5
2	10	14	4
3	6	6	2

より, trifocal tensor に関する合計 12 個の拘束式が得られる.ここで,式(2) を次のように変形する.

$$u_{1}[\widetilde{\mathbf{m}}_{2}]_{\times} \mathbf{T}_{1}[\widetilde{\mathbf{m}}_{3}]_{\times} + v_{1}[\widetilde{\mathbf{m}}_{2}]_{\times} \mathbf{T}_{2}[\widetilde{\mathbf{m}}_{3}]_{\times} + w_{1}[\widetilde{\mathbf{m}}_{2}]_{\times} \mathbf{T}_{3}[\widetilde{\mathbf{m}}_{3}]_{\times} = \mathbf{0}_{3}$$
 (6)

先と同様に , エピポール  $\mathbf{e}_{21}$  ,  $\mathbf{e}_{31}$  とは  $\mathbf{m}_1$  がどん な点であっても式 (2) が成り立つような  $\mathbf{m}_2$  ,  $\mathbf{m}_3$  を表す . すなわちどのような  $u_1$  ,  $v_1$  ,  $w_1$  であっても式 (6) が成り立つ . したがって , 式 (6) と  $\mathbf{e}_{21}$  ,  $\mathbf{e}_{31}$  より 次式が成り立つことが分かる .

$$[\widetilde{\mathbf{e}}_{21}]_{\times} \mathbf{T}_i [\widetilde{\mathbf{e}}_{31}]_{\times} = \mathbf{0}_3 \qquad (i = 1, 2, 3)$$
 (7)

この式を展開すると trifocal tensor に関する 12 個の拘束式が新たに得られる.しかし,式 (4), (5) と合わせて考えた場合には,この 12 個のうちの 8 個のみが独立となる.したがって,すべてのエピポールが画像から得ることができれば,式 (4), (5), (7) から合計 20 個の拘束が得られる.

また,通常,式 (2) より 1 組の対応点からは 4 個の拘束が得られるが,これらのうちの 1 つは式 (7) とは独立ではないので,この場合には 1 組の対応点からは 3 個の拘束しか得られない.したがって,2 組の対応点が存在すれば式 (2) より 6 個の拘束が得られ,合計 26 個の trifocal tensor に関する拘束式を得ることができる.したがって,これらの式を解くことにより,trifocal tensor を線形に計算することができる.

以上より、すべてのカメラが相互に投影されている 場合は2組の対応点から trifocal tensor を線形に決定 することが可能であることが分かる.

#### 3.4 提案法のまとめ

本稿での提案法と従来法との比較を表 1 にまとめる. 従来法では 18 自由度の trifocal tensor を線形計算によって求めるためには,最低 26 個の拘束式を得るために7点の対応点が必要であった. これに対し,今回提案した方法では,1つのカメラが他の2つのカメラに投影されている場合は,残りの14 自由度をを計算するためには20個の拘束式,すなわち対応点5組のみを必要とし,また,2つのカメラがそれぞれ他の2つのカメラに投影されている場合は,残り10自由度を計算するために14個の拘束式,すなわち対応

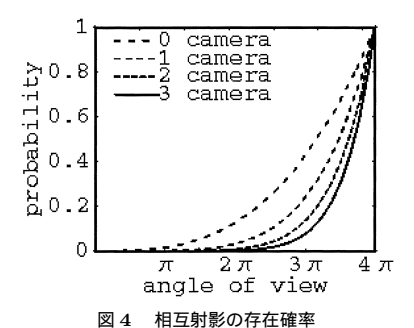


Fig. 4 Probability of mutual projection.

点 4 組のみを , そしてすべてのカメラがそれぞれ相互 に投影されている場合は , 残り 6 自由度を計算するために 6 個の拘束式 , すなわち対応点 2 組のみを必要とする .

次に、このような相互投影の条件が満たされる確率 について考える、従来法では、3 つのカメラにおいて 同一の対象物が観測できればよかった.今,カメラの 視野領域を立体角  $\theta$  で表すと 1 つのカメラにある 対象物が存在する確率は  $\theta/4\pi$  である.したがって, 3 つのカメラの視野領域に同一対象物が存在する確率 は  $(\theta/4\pi)^3$  であることが分かる . これに対し , さらに 図 3 (a) のように 1 つのカメラが他の 2 つのカメラに 投影されている確率は  $(\theta/4\pi)^5$  となる . また , 2 つの カメラがそれぞれ他の2つのカメラに投影されている 確率は  $(\theta/4\pi)^7$ , そして, すべてのカメラが相互に投 影されている場合の確率は  $(\theta/4\pi)^9$  となる . これをグ ラフ化すると,図4のようになる.図4では各手法 を,それを用いるのに必要な他の2つのカメラに投影 されているカメラの数で表している.図4より明らか なように視野領域の小さなカメラでは提案法における 存在確率は従来法に比べて小さく,カメラ位置,姿勢 が大きく制限される.これに対しカメラを回転させて 平面射影変換により Mosaicing することで広角化した り, 視野領域の大きい全方位カメラを使用したりすれ ば図4に見るように,提案法であっても存在確率が大 きくなり,従来法と遜色ない確率で使用可能となる.

#### 4. 射影復元

trifocal tensor が求まると,求めた trifocal tensor を用いて対象物の形状を復元することができる.ここではその方法について述べる.

式 (1) のような投影式が成り立つ場合,3 つのカメラ行列はそれぞれ次式のように trifocal tensor とエピポールより求めることができる.

$$\mathbf{P}_1 = [\mathbf{I} \ \mathbf{0}] \tag{8}$$

$$\mathbf{P}_2 = [ [\mathbf{T}_1 \ \mathbf{T}_2 \ \mathbf{T}_3] \widetilde{\mathbf{e}}_{31} \ \widetilde{\mathbf{e}}_{21} ] \tag{9}$$

$$\mathbf{P}_{3} = \left[ \left( \widetilde{\mathbf{e}}_{31} \widetilde{\mathbf{e}}_{31}^{\top} - \mathbf{I} \right) \left[ \mathbf{T}_{1}^{\top} \ \mathbf{T}_{2}^{\top} \ \mathbf{T}_{3}^{\top} \right] \widetilde{\mathbf{e}}_{21} \ \widetilde{\mathbf{e}}_{31} \right]$$

$$(10)$$

このようにして求めたカメラ行列と式 (1) より  ${\bf X}$  に関する次のような線形方程式が得られる. ただし,  ${\bf p}_{ij}$  は  ${\bf P}_i$  の j 行目の行ベクトルを示す.

$$\begin{bmatrix} u_i \mathbf{p}_{i3} - w_i \mathbf{p}_{i1} \\ v_i \mathbf{p}_{i3} - w_i \mathbf{p}_{i2} \end{bmatrix} \widetilde{\mathbf{X}} = \mathbf{0} \quad (i = 1, 2, 3)(11)$$

このように,1 つの視点の画像からは  $\widetilde{\mathbf{X}}$  に関する拘束式が2 つ得られる.ここで, $\widetilde{\mathbf{X}}$  は未知数4 であるが,定数倍の不定性があるため最低3 つの拘束式が得られれば  $\widetilde{\mathbf{X}}$  を求めることが可能となる.したがって,復元を行いたい点が最低2 つの視点に投影されていれば3 つ以上の拘束式が得られ,射影的な不定性を残して3 次元空間中の点を復元することが可能となる.

以上のように,射影復元を行う場合にはカメラ行列が trifocal tensor より求まるため,提案法により trifocal tensor を安定に計算することができれば,射影復元も安定化できると考えられる.

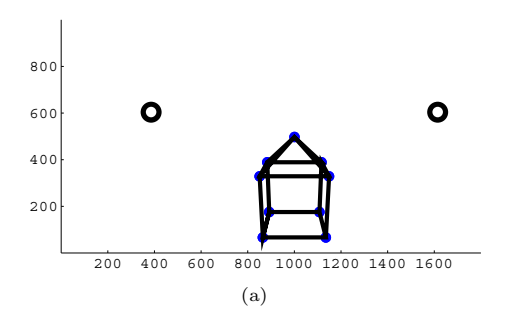
#### 5. 実 験

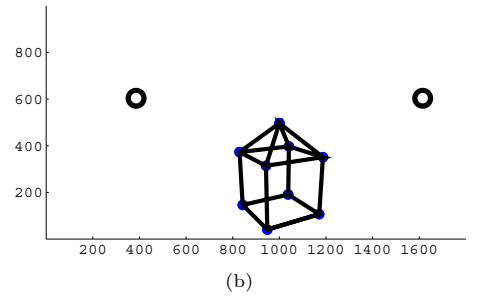
以上,述べた理論を用いてシミュレーション実験および実画像により trifocal tensor の計算の安定性評価,形状復元実験を行い,本稿で提案した手法の有効性を示す.なお,実画像を用いた実験においてはカメラの投影像の中央の点を手動で選びエピポールとしている.また,trifocal tensorを求めるときには画像の正規化を行い計算を安定化している<sup>7)</sup>.

#### 5.1 trifocal tensor の安定性評価

まず、trifocal tensor の計算精度をシミュレーション実験により評価する.図  $\mathbf{5}(\mathbf{a})$ ,  $(\mathbf{b})$ ,  $(\mathbf{c})$  に本シミュレーション実験で用いた  $\mathbf{3}$  つのカメラ画像を示す.画像中の白丸は各エピポールである.

各投影点に標準偏差 1pixel の画像ノイズを印加して 従来の 7 点による線形法と提案法により trifocal tensor の計算を 100 回行い,真の trifocal tensor との差を評価した.その結果を図 6 に示す. 横軸はそれぞれの手法を表し,縦軸は求めた trifocal tensor の各要素の平均二乗誤差を表す.このとき,trifocal tensor には定数倍の不定性が存在するため,各要素の二乗和が1となるように正規化して評価した.図6より,従来法による結果では非常に誤差が大きく,安定に trifocal tensor が計算できていないのに対して,提案法による





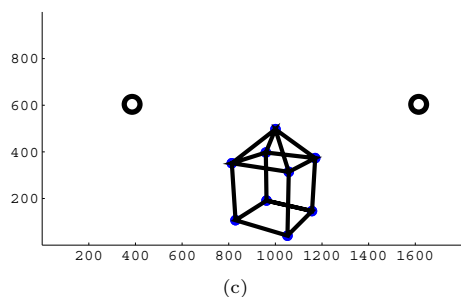


図 5 シミュレーション実験用画像

Fig. 5 Synthetic images used for some experiments.

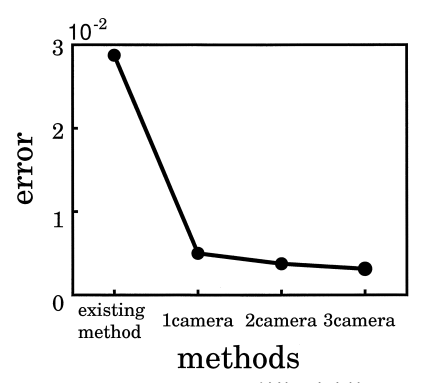


図 6 Trifocal tensor 計算の安定性 Fig. 6 Stability of trifocal tensor.

結果は従来法と比較すると格段に誤差が小さく,非常に安定に trifocal tensor を計算できていることが分かる.



(a) 第 1 カメラの画像



(b) 第2カメラの画像



(c) 第 3 カメラの画像 図 7 実画像による投影像

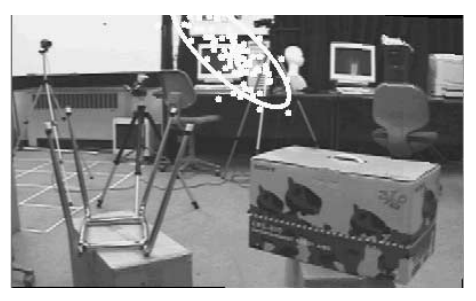
Fig. 7 Panoramic images used for some experiments.

## 5.2 エピポールとエピポーラ・ホモグラフィーの 安定性

次に実画像を用いた実験により、trifocal tensorの要素であるエピポールとエピポーラ・ホモグラフィーの安定性の評価を行った、実験に用いた3つのカメラの画像を図7(a),(b),(c)に示す。これらの画像はカメラが相互に投影されるようカメラを回転し、平面射影変換によりMosaicingすることで広角化したものである、提案法ではこれらの画像中に写っているカメラをエピポールとして用いた、また、図中の白丸の点は trifocal tensorの計算に用いた対応点を示す。

初めにエピポールの安定性について示す.まず,図7(a),(b),(c)より従来法によって求めたエピポール  $e_{31}$ の安定性を図8(a)に示す.これに対して,1組のエピポールを用いた提案法と2組のエピポールを用いた提案法によりそれぞれ trifocal tensor を計算して求めたエピポール  $e_{31}$ の安定性を図8(b),(c)に示す.これらの図中の点は,先と同様に標準偏差1pixcelの画像ノイズを印加して求めたエピポールを表し,楕円はこれらの結果より求めた $2\sigma$ の不確定領域を表している。図8(a),(b),(c)より,提案法ではエピポール計算の安定性が格段に向上していることが分かる。

次に,エピポーラ・ホモグラフィーの安定性評価を行った.エピポーラ・ホモグラフィーの安定性は直感的に理解しにくいので,ここではエピポーラ線の安定性として評価した.その結果を図 9(a), (b) に示す. (a) は従来法の結果であり,(b) はすべてのカメラが相



(a) 従来法



(b)1 組の e 使用



(c)2 組の e 使用 図 8 エピポールの安定性 Fig.8 Stability of epipoles.

互に投影されている場合の結果である.それぞれの画像中の白塗りの部分は,第1画像中で $0^\circ$ , $60^\circ$ , $120^\circ$ ,の傾きを持つ3つのエピポーラ線を,求めたエピポーラ・ホモグラフィーを用いて第3画像中のエピポーラ線へ変換した場合の $2\sigma$ の不確定領域を表している.これらの結果より,エピポーラ・ホモグラフィーの計算においても,従来法よりも提案法の方が安定性が高いことが分かる.

#### 5.3 実画像による射影復元

次に、射影復元について示す、一般に射影復元の安定性はカメラ運動の計算精度に大きく依存するため、提案法を用いることにより、より安定に射影復元できることが予想できる、本実験では図7(a),(b),(c)の3つの視点の画像を用いて、従来法と提案法によりそれぞれ trifocal tensor を計算し、図7(a) 左下の箱の射影復元を行った、その復元結果を再投影した結果を



(a) 従来法

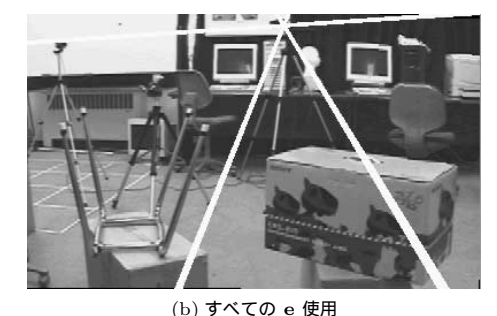


図 9 エピポーラ・ホモグラフィーの安定性

Fig. 9 Stability of epipolar homography.

図 10 (a)~(d) に示す.一般に射影復元には 3 次元射影変換の不定性が存在するが,これに対し正しい画像基底を与えて再投影すると画像中では不定性がなくなり復元の精度を比較することが可能となる.図中の 2 点は用いた 5 つの基底のうちの 2 つの像を示す.残りの 3 つの基底は 3 つのカメラの視点とした.これらの図より,従来法による復元では,形が大きく歪み,安定に復元できていないのに対し,1 組のエピポールを用いる提案法での復元では非常に安定に形状復元できており,2 組,3 組のエピポールを用いることによりさらに安定に復元できていることが分かる.

#### 5.4 射影復元の安定性

次にシミュレーション実験により,提案法による射影復元の安定性を定量的に評価する.今,図 5 のように 3 つのカメラによってそれぞれ対象物が投影されているとする.これらの画像中の各投影点とエピポールにそれぞれ標準偏差 1pixel の画像 J イズを印加して射影復元を 100 回繰り返し行った.その復元結果を図 11 (a)  $\sim$ (d) に示す.図 11 (a) は従来法を,また (b) は 1 組のエピポールを画像から直接求めた場合を,(c) は 2 組のエピポールを画像から直接求めた場合を,そして (d) はすべてのエピポールを画像から直接求めた場合の射影復元の結果である.図中の楕円体は各点の復元結果に対する  $3\sigma$  の不確定領域を表している.従来法では各点の不確定領域が大きく,安定に復元することが困難であることが分かる.これに対して,エピ

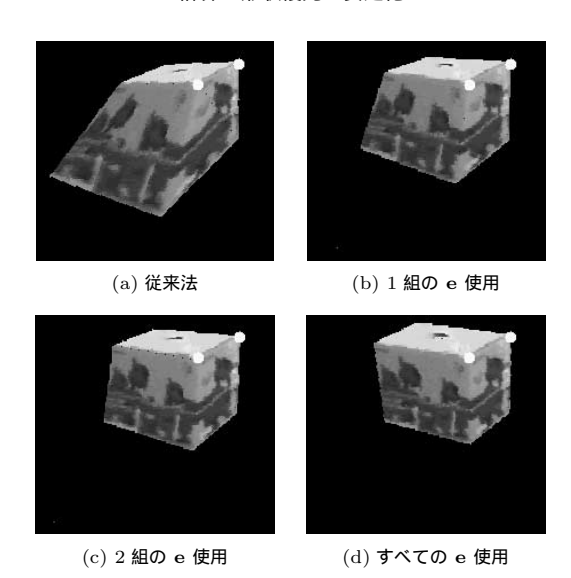


図 10 射影復元の結果

 ${\bf Fig.\,10} \quad {\bf Results~of~projective~reconstruction.}$ 

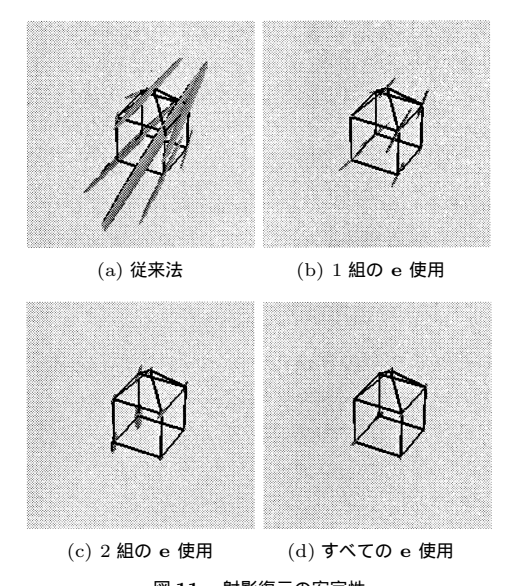


図 11 射影復元の安定性 Fig. 11 Stability of projective reconstruction.

ポールを直接画像から求めた場合は非常に安定に復元 できていることが分かる.

#### 6. ま と め

本稿ではカメラを相互投影することにより trifocal tensor をより安定に計算する手法を提案した .1 つのカメラが他の 2 つのカメラに投影されている場合は 5 点から .2 つのカメラがそれぞれ他の .2 つのカメラに投影されている場合は .4 点から .4 また .4 すべてのカメラが相互に投影されている場合には対象物上の .4 点

の対応点から線形に trifocal tensor を計算可能である ことを示した.一般に従来法によりエピポール計算を 行った場合には数十 pixel の誤差が生ずる.これに対 しカメラの投影像を直接エピポールとして得た場合に は,その誤差はせいぜい数 pixel であるため trifocal tensor の計算安定度が格段に向上する.実際に提案 法を用いて trifocal tensor の計算を行い,射影復元に 応用して提案法の有効性を示した.このようにカメラ の相互投影を行う場合には,カメラ位置が大きく制限 されてしまうが,本稿で示したようにカメラを回転さ せたり,全方位カメラなどを用いたりすることにより 問題は解決することができる.また,近年では大量の カメラを用いて対象物を復元する研究がさかんに行わ れているが、このような場合には向かい合ったカメラ がお互いに投影される状況が頻繁に起こるため本稿の 手法が非常に有用であると考えられる.相互投影を用 いて trifocal tensor を求める場合,本稿のように直接 trifocal tensor を求める代わりに, 文献 9) の方法で まず 3 つのカメラ間の 3 つの fundamental 行列を個 別に求め, その3つの fundamental 行列から trifocal tensorを計算する方法も考えられる.しかし,これら 3つの fundamental 行列は独立ではなく,3つの7自 由度の fundamental 行列の合計の自由度が 21 である のに対して, trifocal tensor の自由度は 18 であるこ とから, trifocal tensorではより強い拘束が成り立っ ている. したがって, 本稿のように trifocal tensor を 直接求めた方がより計算が安定化する.

今後はカメラが 4 つ以上の場合において,カメラ間の相対関係を相互射影により安定に計算する方法を考えていく.

謝辞 日頃ご指導いただいている名古屋工業大学佐藤幸男教授に感謝する.

#### 参考文献

- Rothwell, C., Csurka, G. and Faugeras, O.: A Comparison of Projective Reconstruction Methods for Pairs of Views, Technical Report N2538, INRIA (1995).
- 2) 佐藤岳晴, 佐藤 淳: 未校正カメラによる未校 正ロボットの視覚サーボ, 電子情報通信学会論文 誌, Vol.J83-D-II, No.4, pp.1110-1118 (2000).
- 3) Faugeras, O.: What can be seen in three dimensions with an uncalibrated stereo rig?, Proc. 2nd European Conference on Computer Vision, Sandini, G. (Ed.), pp.563–578, Springer-Verlag (1992).

- 4) Hartley, R., Gupta, R. and Chang, T.: Stereo from uncalibrated cameras, *Proc. Conference on Computer Vision and Pattern Recognition*, pp.761–764 (1992).
- 5) 大田友一,田村秀行:複合現実感の要素技術としてのコンピュータビジョン,画像の認識・理解シンポジウム,Vol.1,pp.1-6 (1998).
- Kutulakos, K. and Vallino, J.: Affine Object Representation for Calibration-Free Augmented Reality, Proc. IEEE Virtual Reality Annual International Symposium, pp.25–36 (1996).
- 7) Hartley, R. and Zisserman, A.: Multiple View Geometry in Computer Vision, Cambridge University Press (2000).
- 8) Longuet-Higgins, H.: A computer algorithm for reconstructing a scene from two projections, *Nature*, Vol.293, pp.133–135 (1981).
- 9) 伊藤 満,佐藤 淳:カメラの相互射影によるエ ピポーラ幾何計算の安定化,電子情報通信学会論 文誌, Vol.J85-D-II, No.3, pp.416-424 (2002).

(平成 14 年 3 月 1 日受付) (平成 14 年 9 月 12 日採録)

#### (担当編集委員 長尾 健司)



#### 杉村 健之

昭和 53 年生. 平成 13 年名古屋工業大学電気情報工学科卒業. 現在同大学大学院博士前期課程在学中. コンピュータビジョンの研究に従事.



#### 佐藤 淳(正会員)

昭和 59 年名古屋工業大学工学部 卒業.平成8年ケンブリッジ大学大 学院博士課程修了.同年ケンブリッ ジ大学工学部助手.平成10年名古 屋工業大学工学部助教授.この間に,

ART 人間情報通信研究所客員研究員等.コンピュータビジョン,幾何学的不変量,視覚誘導,視覚ユーザインタフェースの研究に従事.博士(Ph.D.).著書に「コンピュータビジョン―視覚の幾何学」(コロナ社)等.BMVC'94 最優秀科学論文賞,BMVC'97 最優秀科学論文賞,第5回画像センシングシンポジウム論文賞等各受賞.電子情報通信学会会員.